

В. Г. Манусаджян, А. М. Зякун, А. В. Чувилин, Я. М. Варшавский

Применение масс-спектрометрического метода
к изучению производных аминокислот и
коротких пептидов.

II. Масс-спектрометрический анализ этиловых эфиров N-ацилпептидов

В предыдущей работе [1] были изучены масс-спектры этиловых и амиловых эфиров некоторых N-ациламинокислот. Настоящее исследование посвящено масс-спектрометрическому анализу этиловых эфиров N-ацилпептидов. Основная цель, которую мы ставили перед собой, сводилась к получению масс-спектров исследуемых веществ и интерпретации отдельных пиков с тем, чтобы выяснить возможности определения первичной структуры в исходных пептидах, т. е. порядок чередования аминокислотных остатков. Изучение масс-спектров этих соединений представляло интерес также и потому, что в литературе до настоящего времени отсутствуют данные о характере распада указанных производных пептидов в условиях масс-спектрометра.

Экспериментальная часть

Изучались этиловые эфиры N-ацетильных производных следующих ди- и трипептидов: глицил-глицина, глицил-D,L-аланина, глицил-D,L-серина, глицил-D,L-фенилаланина, глицил-D,L-лейцина, глицил-L-пролина, D,L-аланил-глицил-глицина и глицил-L-лейцил-D,L-валина. Методика получения исследуемых соединений и их ИК-спектры описаны в работе [2].

Масс-спектры были получены на приборе МИ-1305 по методике, описанной в [1], а также на масс-спектрометре МХ-1303. Масс-спектры, полученные на обоих приборах, практически не отличались друг от друга. Температура системы напуска поддерживалась равной 200°C. В целях контроля масс-спектры каждого образца снимали несколько раз.

При введении анализируемого вещества в масс-спектрометр наблюдается эффект памяти, обусловленный тем, что молекулы вводимого вещества вытесняют адсорбированные на стенах прибора молекулы предыдущих веществ. Для устранения этого эффекта систему напуска в течение 1 часа промывали анализируемым веществом. В качестве иллюстрации на рисунке 1 показан масс-спектр этилового эфира N-ацетил-глицил-D,L-фенилаланина сразу же после впуска (1а) и спустя

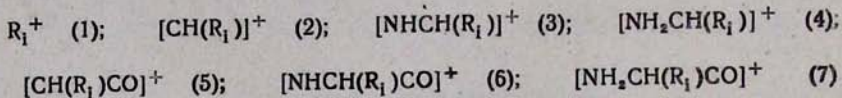
один час (16). Легко видеть, что ряд пиков в масс-спектрах, принадлежащих предыдущему веществу, исчезает после промывки.

Относительная интенсивность отдельных пиков в масс-спектрах воспроизводится с точностью до 5%. Однако для некоторых наименее устойчивых пиков различие в относительной интенсивности пиков в отдельных масс-спектрах может достигать 10—20%. При изменении ионизирующего напряжения от 24 до 40 в. наблюдается значительное изменение относительной интенсивности пиков. На рисунке 2 в качестве примера показаны масс-спектры этилового эфира N-ацетил-глицина, полученные при напряжениях 24 (2а) и 40 в. (2б). При соблюдении постоянства ионизирующего напряжения и температуры удается получить воспроизводимые масс-спектры.

Результаты и их обсуждение

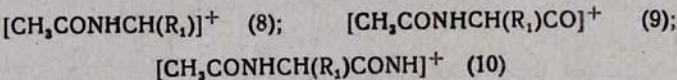
Полученные масс-спектры изображены на рисунках 1—8. Наиболее интенсивные пики приведены в таблице 1.

При распаде молекул исследуемых соединений, общая формула которых имеет вид: $\text{CH}_3\text{CONHCH}(\text{R}_1)\text{CONHCH}(\text{R}_2)\text{COOC}_2\text{H}_5$, образуется большое число различных ионов. Ниже приведены те из них, которые могут характеризовать аминокислотные остатки в исходных пептидах:

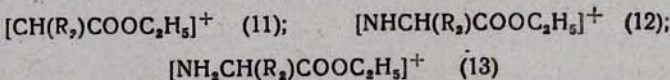


Как показывают полученные нами данные, высокой интенсивностью характеризуются пики, отвечающие ионам (1), (2), (4) и (7).

Для характеристики положения аминокислотного остатка в исходном пептиде могут служить только ионы, содержащие боковую и концевую группы. Для N-конца этими ионами являются:

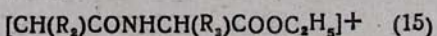
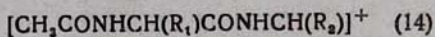


а для C-конца ионы:



Как показывают полученные данные, высокая интенсивность характерна для пика, отвечающего иону (8); несколько менее интенсивны пики, соответствующие ионам (9) и (13); остальные пики характеризуются слабой интенсивностью.

Для идентификации положения средней аминокислоты в трипептиде характеристическими являются ионы:



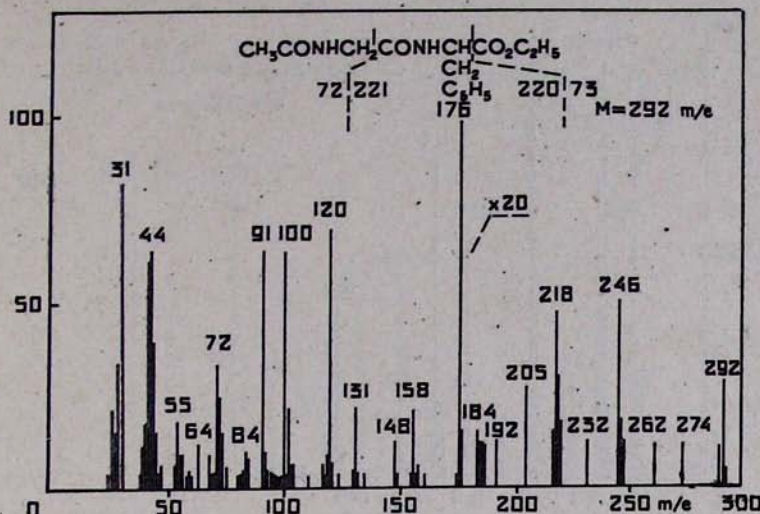


Рис. 1а. Масс-спектр этилового эфира N-ацетил-глицил-D,L-фенилаланина ($U_u = 30$ в; $t = 200^\circ$).

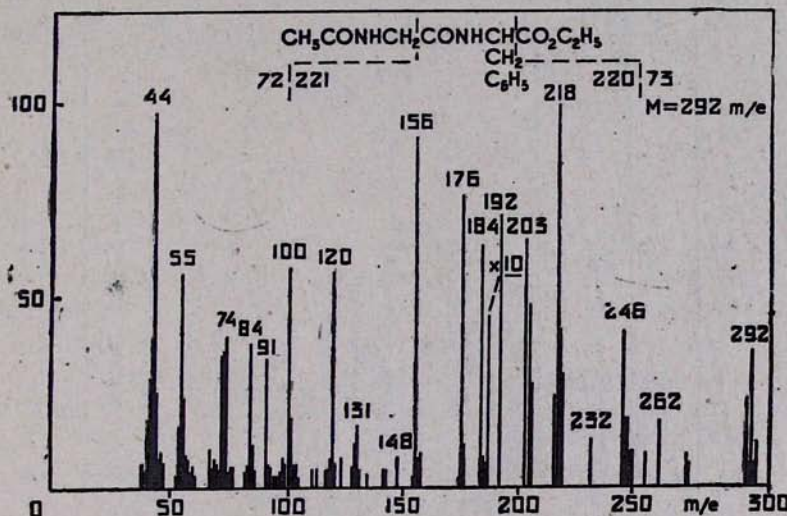


Рис. 1б. Масс-спектр этилового эфира N-ацетил-глицил-D,L-фенилаланина ($U_u = 30$ в; $t = 200^\circ$; спектр снят спустя 1 час после получения первого спектра; рис. 1а).

Как показывает опыт, наиболее устойчивым является ион (14), образующийся при распаде исходной молекулы по С—С-связи, расположенной в α -положении по отношению к азоту (α C—C).

Наиболее интенсивные пики в масс-спектрах лежат в области 30—60 m/e. Эти пики соответствуют стабильным ионам, образующимся в результате перегруппировки первичных ионов и отщепления от них отдельных осколков, в основном молекул водорода, воды, этанола и кетена. Образующаяся при этом двойная связь стабилизирует соответствующий ион.

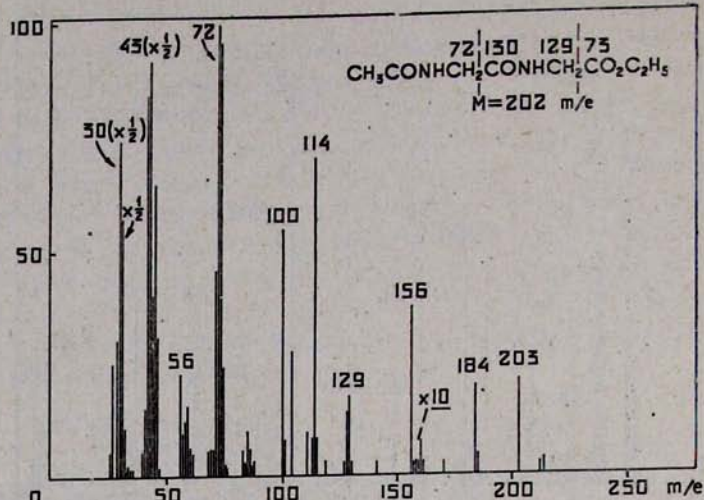


Рис. 2а. Масс-спектр этилового эфира N-ацетил-глицил-глицина.
 $(U_u = 24 \text{ в}; t = 200^\circ)$.

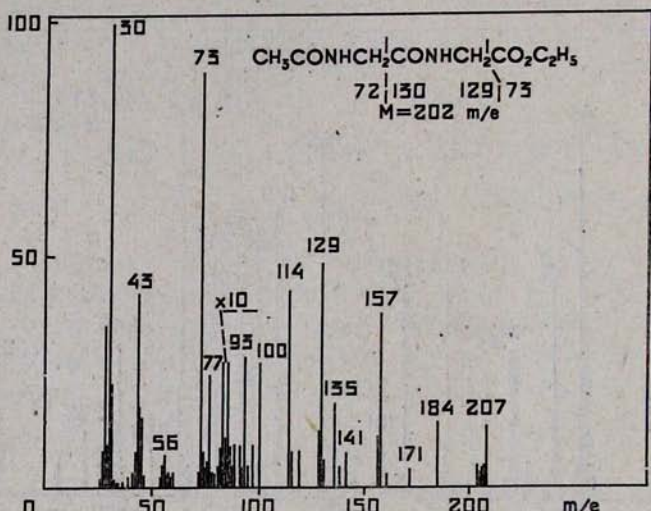


Рис. 2б. Масс-спектр этилового эфира N-ацетил-глицил-глицина ($U_u = 40 \text{ в}; t = 200^\circ$).

Этиловый эфир N-ацетил-глицил-глицина (рис. 2) является производным простейшего дипептида и содержит остатки, характерный для всех дипептидов. Поэтому большинство пиков, наблюдавшихся в его масс-спектре, появляется также в масс-спектрах производных всех других дипептидов в результате отщепления боковых групп. Двум характерным ионам 72^+ и 129^+ соответствуют интенсивные пики. При увеличении ионизирующего напряжения увеличиваются интенсивности пиков 73 и 129, получаемых вследствие расщепления второй α C—C-связи (рис. 2б). Положительный заряд стабилизируется преимущественно на N-концевом осколке. Наибольшую интенсивность

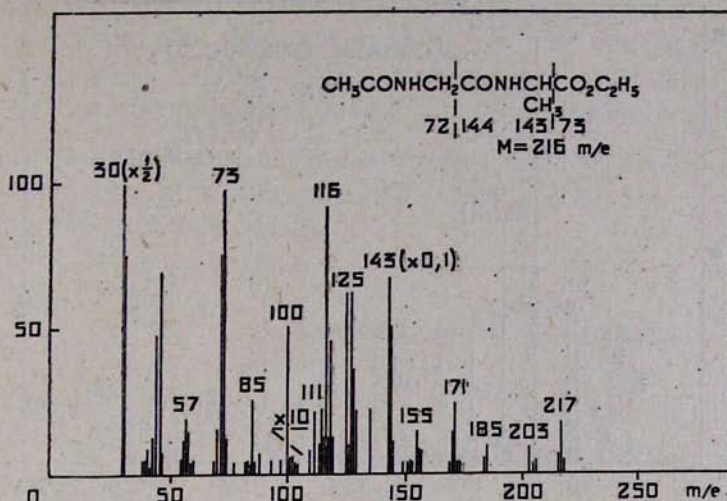


Рис. 3. Масс-спектр этилового эфира N-ацетил-глицил-D,L-алана ($U_u = 35$ в; $t = 200^\circ$).

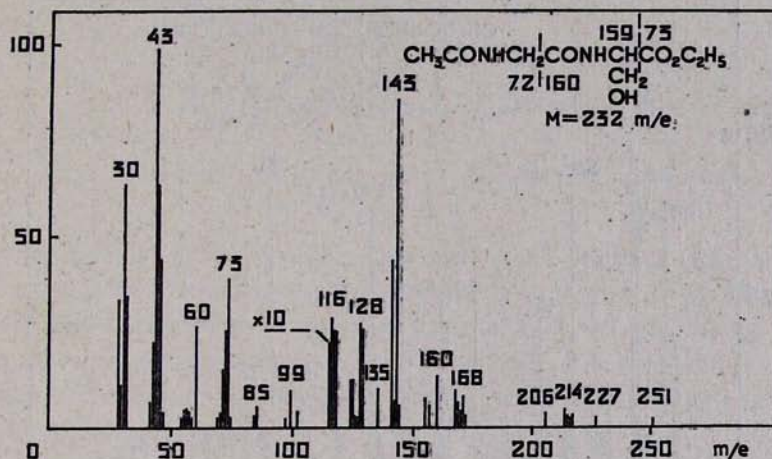
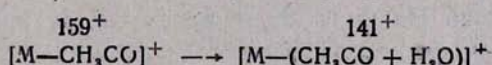
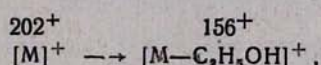
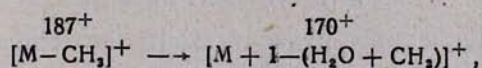


Рис. 4. Масс-спектр этилового эфира N-ацетил-глицил-D,L-серина ($U_u = 35$ в; $t = 200^\circ$).

имеют пики 30 ($\text{NH}_2=\text{CH}_2$) и 43 (CH_3CO^+). Ионы 141^+ , 156^+ , 170^+ образуются в результате реакций, которые типичны для всех изученных соединений*:



* Здесь и далее вместо "ион с $m/e X$ " пишется " X^+ ".

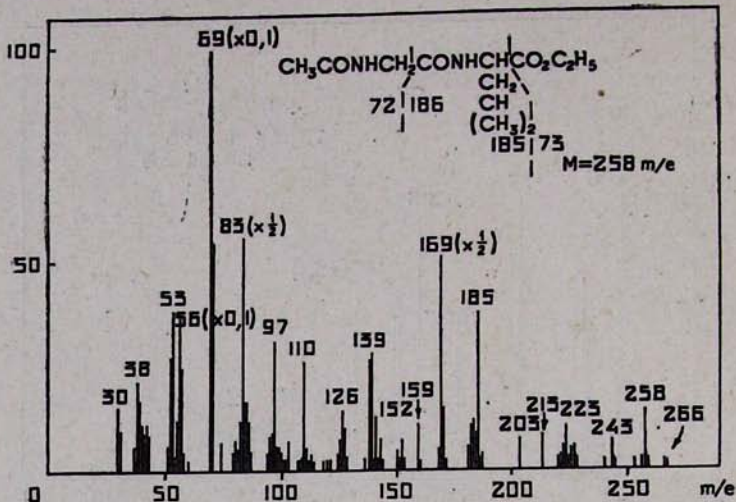


Рис. 5. Масс-спектр этилового эфира N-ацетил-глицил-D,L-лейцина
(U_u = 30 в; t = 200°).

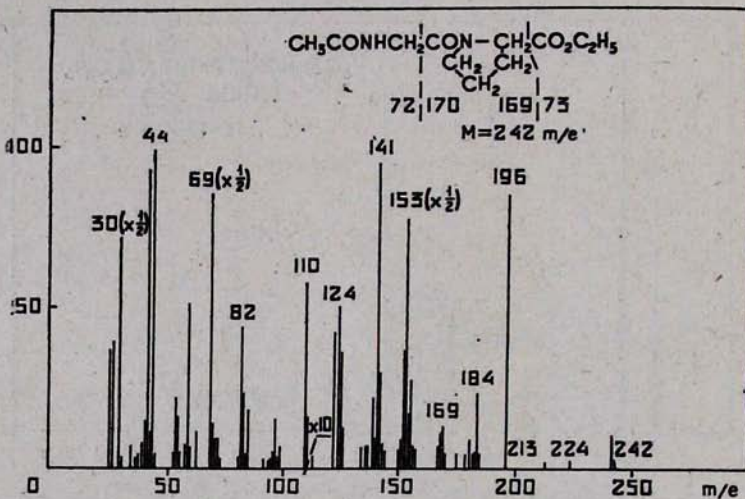
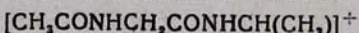


Рис. 6. Масс-спектр этилового эфира N-ацетил-глицил-L-пролина
(U_u = 30 в; t = 200°).

Этиловый эфир N-ацетил-глицил-D,L-аланина (рис. 3). Хорошо стабилизирован осколок с массовым числом 143:



Пик 72 имеет среднюю относительную интенсивность. Ион, соответствующий пику 171, образуется, вероятно, при рассечении —C—O—



сложноЭфирной связи. Наличие его в масс-спектре производного глицил-глицина (рис. 2) свидетельствует о том, что этот ион образуется из остова молекулы в результате отщепления боковой группы аланина. Пик 116 отсутствует в спектре производного глицил-глицина,

тогда как пик 85 наблюдается в этом спектре. Следовательно, пик 85 также, как и пик 171, происходит из остова этих молекул. Возможно, что он образуется из иона 100^+ . Группа пиков в области 50–60 сходна с соответствующими пиками в спектре эфира N-ацил-глицил-глицина. Пику 44 должен соответствовать ион $[H_2N=CH-CH_3]$, который присутствует в масс-спектрах этиловых эфиров как N-ацил-аланина, так и аланина [3,4].

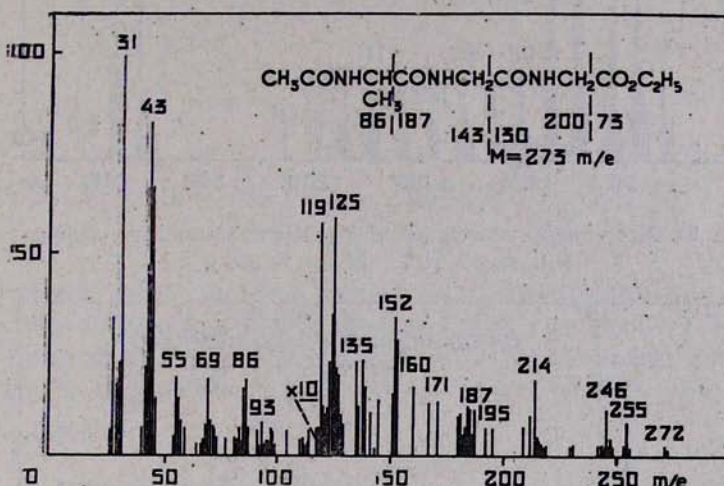
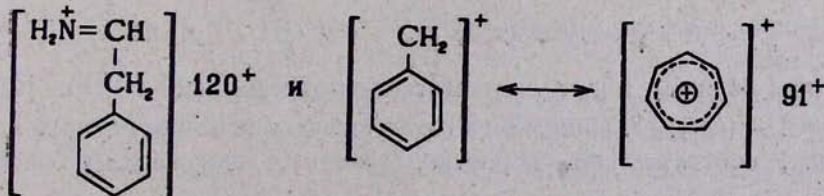


Рис. 7. Масс-спектр этилового эфира N-ацетил-D,L-аланил-глицина ($U_u = 24$ в; $t = 200^\circ$).

Этиловый эфир N-ацетил-глицил-D,L-серина (рис. 4). Масс-спектр очень похож на спектр производного глицил-D,L-аланина (рис. 3). Пик 72 имеет среднюю интенсивность, а пик 159 отсутствует. Молекулярный ион не наблюдается. Пику 214 соответствует ион $(M-H_2O)^+$. Это свидетельствует о легкости отщепления гидроксила из боковой группы серина. Характерными являются пики 160 и 60. Пик 143 интерпретируется как аналогичный пик в спектре производного глицил-D,L-аланина.

Этиловый эфир N-ацетил-глицил-D,L-фенилаланина (рис. 1). В масс-спектре проявляются оба характерных пика 72 и 200. Хорошо стабилизирован ион $218^+ = (220 - 2H)^+$. Ион 176^+ , возможно, образуется из иона 177^+ в результате отщепления атома водорода. Двум пикам 120 и 91 соответствуют ионы:



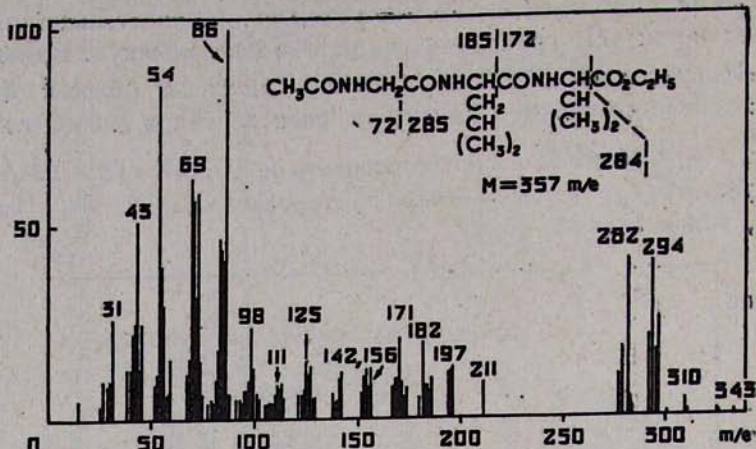


Рис. 8а. Масс-спектр этилового эфира N ацетил-глицил-L-лейцил-D,L-валина ($U_u = 24$ в; $t = 200^\circ$).

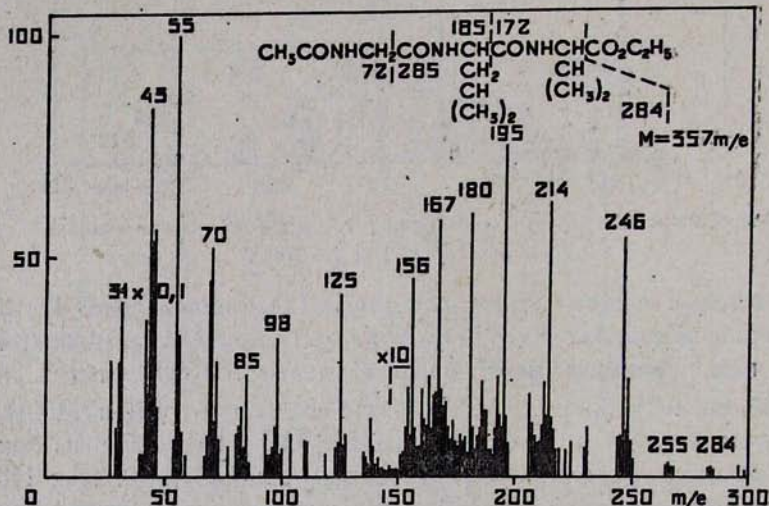
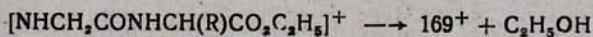


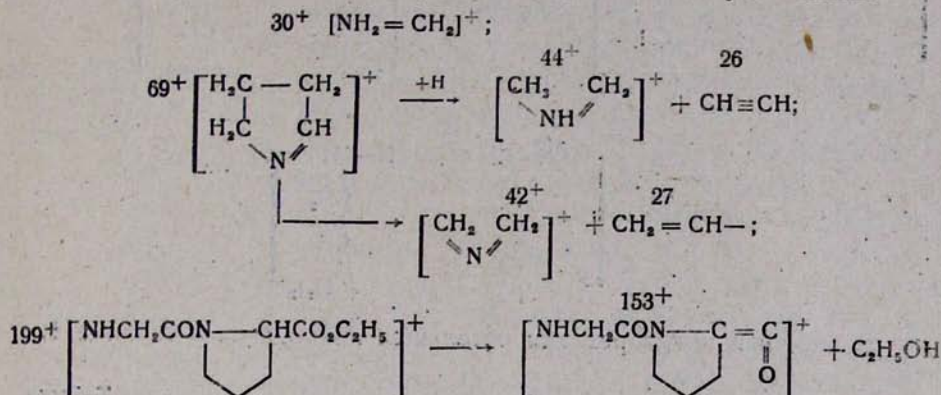
Рис. 8б. Масс-спектр этилового эфира N-ацетил-глицил-L-лейцил-D,L-валина ($U_u = 40$ в; $t = 200^\circ$).

Этиловый эфир N-ацетил-глицил-D,L-лейцина (рис. 5). Характерный пик 72 отсутствует. Пик 185 довольно интенсивный. Молекулярный ион стабилизирован. Ион 169^+ образуется, вероятно, из осколка:

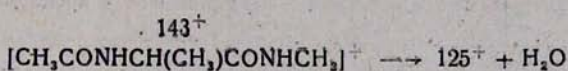


Пики 56 и 69 могут соответствовать ионам $(\text{R}-\text{H})^+$ и $[\text{CH}=\text{CH}-\text{CH}-(\text{CH}_3)_2]^+$. Пики 38 и 83, отсутствующие в предыдущих масс-спектрах, соответствуют, вероятно, осколку, содержащему боковую группу.

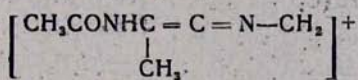
Этиловый эфир N-ацетил-глицил-L-пролина (рис. 6). Характерные пики 72 и 169 имеют слабую интенсивность. Три наиболее интенсивных пика 30, 69 и 153, возможно, соответствуют ионам:



Этиловый эфир N-ацетил-D,L-аланил-глицил-глицина (рис. 7). Хорошо стабилизирован ион, характеризующий положение аланина на N-конце трипептида. Наиболее интенсивный из высокомолекулярных пиков пик 125 соответствует, вероятно, иону, образующемуся при реакции:

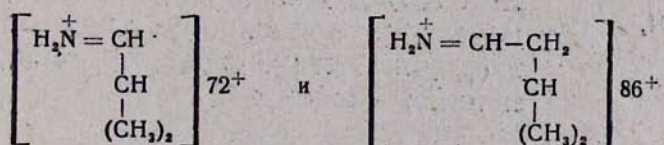


Пику 125 соответствует, по-видимому, ион:

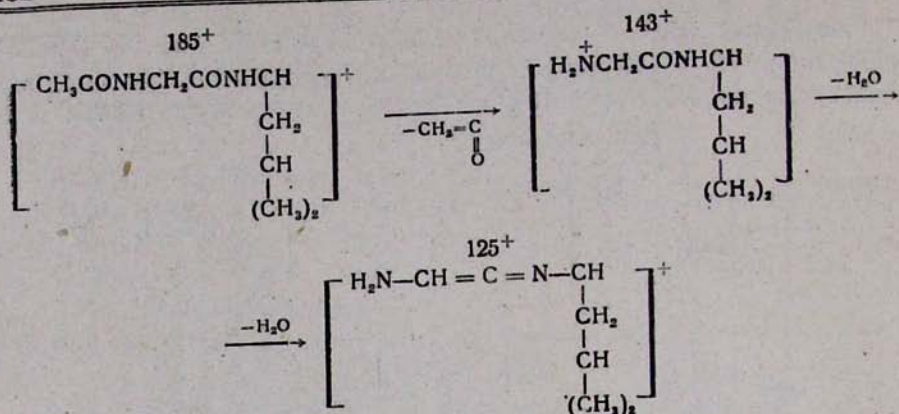


Интерпретация остальных пиков дана в таблице 1.

Этиловый эфир N-ацетил-глицил-L-лейцил-D,L-валина (рис. 8). Характерные пики 72, 185 и 284 имеют среднюю интенсивность. Наиболее тяжелый характеристический ион 284^+ стабилизируется отщеплением молекулы водорода. Пикам 72 и 86 соответствуют, вероятно, ионы:



Пику 294 соответствует ион, образующийся из осколка 312^+ при потере молекулы воды. Распад по $\text{N} - \text{C}$ -связи у второго аминокислотного остатка с последующим отщеплением молекулы этанола дает ион $196^+ = 242^+ - \text{C}_2\text{H}_5\text{OH}$. Распад по третьей пептидной связи и стабилизация положительного заряда на N-конце после отщепления H_2O дает ион $195^+ = 213^+ - \text{H}_2\text{O}$. Пик 167 образуется, вероятно, при отщеплении H_2O от характеристического иона $167^+ = 185^+ - \text{H}_2\text{O}$. Ион 125^+ может образоваться при двойной перегруппировке иона 185^+ :



Возможная интерпретация остальных пиков дана в таблице 1.

Таблица 1

Основные пики в масс-спектрах этиловых эфиров N-ацетидипептидов
 $\text{CH}_3\text{CONHCH}(\text{R}_1)\text{CONHCH}(\text{R}_2)\text{COOC}_2\text{H}_5$
и N-ацетилтрипептидов
 $\text{CH}_3\text{CONHCH}(\text{R}_1)\text{CONHCH}(\text{R}_2)\text{CONHCH}(\text{R}_3)\text{COOC}_2\text{H}_5$

Этиловые эфиры	Основные пики в единицах m/e и предполагаемые ионы
Ац-глицил-глицина $M = \text{C}_8\text{H}_{14}\text{O}_4\text{N}_2$ $R_{1,2} = -\text{H}$	203 ($\text{C}_5\text{H}_{15}\text{O}_4\text{N}_2$) $^+$; 185 ($\text{C}_8\text{H}_{13}\text{O}_3\text{N}_2$) $^+$; 184 ($\text{C}_8\text{H}_{12}\text{O}_3\text{N}_2$) $^+$; 170 ($\text{C}_7\text{H}_{10}\text{O}_3\text{N}_2$) $^+$; 160 ($\text{C}_6\text{H}_{12}\text{O}_3\text{N}_2$) $^+$; 159 ($\text{C}_6\text{H}_{11}\text{O}_3\text{N}_2$) $^+$; 157 ($\text{C}_6\text{H}_9\text{O}_3\text{N}_2$) $^+$; 156 ($\text{C}_6\text{H}_8\text{O}_3\text{N}_2$) $^+$; 141 ($\text{C}_6\text{H}_6\text{O}_2\text{N}_2$) $^+$; 130 ($\text{C}_5\text{H}_8\text{O}_2\text{N}$) $^+$; 129 ($\text{C}_5\text{H}_9\text{O}_2\text{N}_2$) $^+$; 128 ($\text{C}_5\text{H}_8\text{O}_2\text{N}_2$) $^+$; 114 (?); 104 ($\text{C}_4\text{H}_{10}\text{O}_2\text{N}$) $^+$; 100 ($\text{C}_4\text{H}_6\text{O}_2\text{N}$) $^+$; 85 ($\text{C}_4\text{H}_5\text{O}_2$) $^+$; 73 ($\text{C}_3\text{H}_5\text{O}_2$) $^+$; 72 ($\text{C}_3\text{H}_6\text{ON}$) $^+$; 43 ($\text{C}_2\text{H}_3\text{O}$) $^+$; 30 (CH_4N) $^+$
Ац-глицил-D,L-аланина $M = \text{C}_9\text{H}_{15}\text{O}_4\text{N}_2$ $R_1 = -\text{H}$ $R_2 = -\text{CH}_3$	217 ($\text{C}_9\text{H}_{11}\text{O}_4\text{N}_2$) $^+$; 216 (M) $^+$; 203 ($\text{C}_5\text{H}_{15}\text{O}_4\text{N}_2$) $^+$; 185 ($\text{C}_8\text{H}_{13}\text{O}_3\text{N}_2$) $^+$; 171 ($\text{C}_7\text{H}_{11}\text{O}_3\text{N}_2$) $^+$; 155 ($\text{C}_6\text{H}_9\text{O}_3\text{N}_2$) $^+$; 127 ($\text{C}_5\text{H}_8\text{O}_2\text{N}_2$) $^+$; 125 ($\text{C}_5\text{H}_6\text{O}_2\text{N}_2$) $^+$; 116 ($\text{C}_5\text{H}_{10}\text{O}_2\text{N}$) $^+$; 100 ($\text{C}_4\text{H}_6\text{O}_2\text{N}$) $^+$; 85 ($\text{C}_4\text{H}_5\text{O}_2$) $^+$; 73 ($\text{C}_3\text{H}_5\text{O}_2$) $^+$; 72 ($\text{C}_3\text{H}_6\text{ON}$) $^+$; 57 (?); 46 ($\text{C}_2\text{H}_6\text{O}$) $^+$; 44 ($\text{C}_2\text{H}_6\text{N}$) $^+$; 31 (CH_3O) $^+$; 30 (CH_4N) $^+$
Ац-глицил-D,L-серина $M = \text{C}_9\text{H}_{16}\text{O}_5\text{N}_2$ $R_1 = -\text{H}$ $R_2 = \text{CH}_2\text{OH}$	251 (?); 215 ($\text{C}_9\text{H}_{15}\text{O}_4\text{N}_2$) $^+$; 214 ($\text{C}_9\text{H}_{14}\text{O}_4\text{N}_2$) $^+$; 169 ($\text{C}_7\text{H}_{11}\text{O}_3\text{N}_2$) $^+$; 168 ($\text{C}_7\text{H}_{10}\text{O}_3\text{N}_2$) $^+$; 143 ($\text{C}_6\text{H}_{13}\text{O}_3\text{N}_2$) $^+$; 129 ($\text{C}_5\text{H}_8\text{O}_4\text{N}$) $^+$; 117 ($\text{C}_5\text{H}_9\text{O}_3$) $^+$; 116 ($\text{C}_5\text{H}_8\text{O}_3$) $^+$, ($\text{C}_5\text{H}_{10}\text{O}_2\text{N}$) $^+$; 115 ($\text{C}_5\text{H}_7\text{O}_3$) $^+$, ($\text{C}_5\text{H}_8\text{O}_2\text{N}$) $^+$; 85 ($\text{C}_4\text{H}_5\text{O}_2$) $^+$; 73 ($\text{C}_3\text{H}_6\text{O}_2$) $^+$; 72 ($\text{C}_3\text{H}_6\text{ON}$) $^+$; 60 ($\text{C}_2\text{H}_6\text{ON}$) $^+$; 45 ($\text{C}_2\text{H}_6\text{O}$) $^+$; 44 ($\text{C}_2\text{H}_5\text{O}$) $^+$; 43 ($\text{C}_2\text{H}_3\text{O}$) $^+$; 31 (CH_3O) $^+$; 30 (CH_4N) $^+$

Продолжение таблицы I

Этиловые эфиры	Основные пики в единицах m/e и предполагаемые ионы
Ац-глицил-D,L-фенилаланина $M=C_{15}H_{20}O_4N_2$ $R_1=-H$ $R_2=-CH_2C_6H_5$	293 ($M+1$) ⁺ ; 292 (M) ⁺ ; 274 ($C_{13}H_{18}O_3N_2$) ⁺ ; 262 ($C_{13}H_{13}O_4N_2$) ⁺ ; 245 ($C_{13}H_{13}O_4N_2$) ⁺ ; 232 ($C_{13}H_{13}O_2N_2$) ⁺ ; 220 ($C_{12}H_{14}O_2N$) ⁺ ; 219 ($C_{12}H_{15}O_2N_2$) ⁺ ; 218 ($C_{12}H_{14}O_2N_2$) ⁺ ; ($C_{12}H_{12}O_3N$) ⁺ ; 192 ($C_{11}H_{14}O_2N$) ⁺ ; 185 ($C_8H_{13}O_3N_2$) ⁺ ; 184 ($C_8H_{12}O_3N_2$) ⁺ ; 176 ($C_{11}H_{12}O_2$) ⁺ ; 156 ($C_6H_9O_3N_2$) ⁺ ; 120 ($C_5H_{10}N$) ⁺ ; 100 ($C_4H_6O_2N$) ⁺ ; 91 (C_7H_7) ⁺ ; 73 ($C_5H_5O_2$) ⁺ ; 72 (C_3H_6ON) ⁺ ; 64 (C_5H_4) ⁺ ; 43 (C_2H_3O) ⁺ ; 31 (CH_3O) ⁺ ; 30 (CH_4N) ⁺
Ац-глицил-D,L-лейцина $M=C_{12}H_{22}O_4N_2$ $R_1=-H$ $R_2=-CH_2CH(CH_3)_2$	259 ($M+1$) ⁺ ; 258 (M) ⁺ ; 243 ($C_{11}H_{19}O_4N_2$) ⁺ ; 240 ($C_{12}H_{20}O_3N_2$) ⁺ ; 228 ($C_{10}H_{16}O_4N_2$) ⁺ ; 225 ($C_{11}H_{17}O_3N_2$) ⁺ ; 223 ($C_{11}H_{15}O_3N_2$) ⁺ ; 213 ($C_{10}H_{17}O_3N_2$) ⁺ ; 185 ($C_9H_{17}O_2N_2$) ⁺ ; 169 ($C_8H_{14}O_2N_2$) ⁺ ; 159 ($C_8H_{17}O_2N$) ⁺ ; 139 ($C_7H_9O_2N$) ⁺ ; 126, 110 (?); 97 (?); 83 (C_5H_7N) ⁺ ; 70 (C_5H_{10}) ⁺ ; 69 (C_5H_9) ⁺ ; 57 (C_4H_9) ⁺ ; 56 (C_4H_8) ⁺ ; 55 (C_4H_7) ⁺ ; (C_3H_5Nj) ⁺ ; 38 (C_3H_2) ⁺ ; 31 (CH_3O) ⁺ ; 30 (CH_4N) ⁺
Ац-глицил-L-пролина $M=C_{11}H_{18}O_4N_2$ $R_1=H$ $R_2=-(CH_2)_3-$	243 ($M+1$) ⁺ ; 242 (M) ⁺ ; 224 ($C_{11}H_{16}O_3N_2$) ⁺ ; 213 ($C_9H_{13}O_4N_2$) ⁺ ; 196 ($C_9H_{11}O_3N_2$) ⁺ ; 184 ($C_9H_{14}O_2N$) ⁺ ; 170 ($C_8H_{12}O_3N$) ⁺ ; 169 ($C_8H_{12}O_2N_2$) ⁺ ; 155 ($C_7H_{11}O_2N_2$) ⁺ ; 154 ($C_7H_{10}O_2N_2$) ⁺ ; 142 ($C_7H_{12}O_2N$) ⁺ ; 141 ($C_7H_{11}O_2N$) ⁺ ; 124 ($C_7H_{12}ON$) ⁺ ; 110 (?); 97 ($C_5H_7O_2N$) ⁺ ; 82 (C_4H_5ON) ⁺ ; 73 ($C_3H_3O_2$) ⁺ ; 72 (C_3H_6ON) ⁺ ; 70 (C_4H_9N) ⁺ ; 59 (C_2H_5ON) ⁺ ; 44 (C_2H_6N) ⁺ ; 42 (C_2H_4N) ⁺ ; 30 (CH_4N) ⁺ ; 27 (C_2H_3) ⁺ ; 26 (C_2H_2) ⁺
Ац-D,L-аланил-глицил-глицина $M=C_{11}H_{19}O_5N_3$ $R_1=-CH_3$ $R_{2,3}=-H$	273 (M) ⁺ ; 255 ($C_{11}H_{17}O_4N_2$) ⁺ ; 246 ($C_9H_{16}O_5N_2$) ⁺ ; 231 ($C_9H_{17}O_4N_2$) ⁺ ; 230 ($C_9H_{16}O_4N_2$) ⁺ ; 214 ($C_9H_{14}O_4N_2$) ⁺ ; (?); 187 ($C_7H_{11}O_4N_2$) ⁺ ; 186 ($C_7H_{12}O_3N_2$) ⁺ ; 171 ($C_7H_{11}O_3N_2$) ⁺ ; 160 ($C_6H_{12}O_3N_2$) ⁺ ; 153 ($C_7H_9O_2N_2$) ⁺ ; 152 ($C_7H_8O_2N_2$) ⁺ ; 145 ($C_6H_{11}O_3N$) ⁺ (?); 138, 135 (?); 125 ($C_6H_9ON_2$) ⁺ ; 119 (?); 87 ($C_4H_7O_2$) ⁺ ; 86 (C_4H_5ON) ⁺ ; 69 (?); 55 (C_3H_5O) ⁺ ; 44 (C_2H_6N) ⁺ ; 43 (C_2H_3O) ⁺ ; 31 (CH_3O) ⁺ ; 30 (CH_4N) ⁺ ; 27 (C_2H_3) ⁺
Ац-глицил-L-лейцил-D,L-валина $M=C_{17}H_{31}O_5N_3$ $R_1=-H$ $R_2=-CH_2CH(CH_3)_2$ $R_3=-CH(CH_3)_2$	342 ($C_{16}H_{28}O_5N_3$) ⁺ ; 311 ($C_{15}H_{25}O_4N_3$) ⁺ ; 301 ($C_{13}H_{23}O_5N_3$) ⁺ ; 296 ($C_{15}H_{26}O_3N_3$) ⁺ ; 285 ($C_{14}H_{25}O_4N_2$) ⁺ ; 284 ($C_{14}H_{26}O_3N_3$) ⁺ ; 267 ($C_{14}H_{23}O_3N_2$) ⁺ ; 266 ($C_{14}H_{24}O_2N_2$) ⁺ ; 185 ($C_9H_{17}O_2N_2$) ⁺ ; 172 ($C_8H_{14}O_3N$) ⁺ ; 156 (?); 154 ($C_8H_{14}O_3N$) ⁺ ; 125 (?); 110, 111 (?); 98 (?); 86 ($C_5H_{12}N$) ⁺ ; 72 (C_3H_5ON) ⁺ и ($C_4H_{10}N$) ⁺ ; 57 (C_4H_9) ⁺ ; 43 (C_2H_3O) ⁺ ; 31 (CH_3O) ⁺ ; 30 (CH_4N) ⁺ .

Выводы

1. Получены масс-спектры этиловых эфиров шести N-ацил-дипептидов и двух N-ацил-трипептидов.
2. Рассмотрены основные типы распадов первичных ионов при определенном ионизирующем напряжении и температуре 200°.
3. Дестабилизация характеристических ионов происходит в основном за счет нескольких типов мономолекулярных реакций, приводящих к отщеплению молекул водорода, воды, кетена и этанола от первичных осколков.
4. Полученные масс-спектры свидетельствуют о том, что этиловые эфиры N-ацилпептидов в принципе позволяют определить порядок чередования аминокислотных остатков в исходных коротких пептидах. Однако эта задача не во всех случаях может быть выполнена без предварительного эталонирования, поскольку характеристические ионы не всегда устойчивы.

Институт радиационной и физико-химической биологии
АН СССР

Поступило 12 I 1964

д. ф. Մանուսադյան, Ա. Մ. Զյակուն, Ա. Վ. Չւվիլին և Յա. Մ. Վարշավսկի

**ՄԱՍ-ՄՈՒԿՏՈՄԵՏՐԻԿ ՄԵԹՈԴԻ ԿԻՐԱՌՈՒՄԸ ԱՄԻՆԱԹԹՈՒՆԵՐԻ ԵՎ
ԿԱՐՑ ՊԵՊՏԻԴՆԵՐԻ ԱՇԱՆՑՅԱԼՆԵՐԻ ՈՒՍՈՒՄՆԱՍԻՐՈՒԹՅԱՆ ՀԱՄԱՐ**

II. N-Ացիլպեպտիդների էթիլէստերների մաս-սպեկտրամետրիկ անալիզը

Ա մ փ ռ փ ռ ւ մ

Ներկա աշխատությունը հանդիսանում է ամինաթթուների և կարճ պեպտիդների ածանցյալների մաս-սպեկտրամետրիկ ուսումնասիրության շարունակությունը։ Այս աշխատության նպատակն էր N-ացիլտիլացված դի-և տրի-պեպտիդների էթիլէստերների մաս-սպեկտրների ստացումը ու նրանց առանձին պիկերի մեկնաբանումը և լանդրութ հանդիսացող պեպտիդների սկզբնական կառուցքը, ալինքն ամինաթթվալին մնացորդների հերթականության կարգը որոշելու հնարավորությունը պարզելու համար։

Ուսումնասիրված են հետեւալ դի-և տրիպեպտիդների N-ացիլտիլ ածանցյալների էթիլէստերները։ Գլիցիլ-գլիցին, գլիցիլ-D,L-ալանին, գլիցիլ-D,L-աերին, գլիցիլ-D,L-ֆենիլալանին, գլիցիլ-D,L-լիցին, գլիցիլ-L-պրոլին, D,L-ալանիլ-գլիցիլ-գլիցին և գլիցիլ-L-լիցիլ-D,L-վալին։ Իննացման լարվածությունն էր 20—40 վ., ջերմաստիճանը՝ 200°C։ Մտացված արդյունքները վկայում են այն մասին, որ N-ացիլտիլպեպտիդների էթիլէստերների մաս-սպեկտրամետրիկ ուսումնասիրությունը սկզբունքորեն հնարավորություն է տալիս որոշելու ամինաթթվալին մնացորդների հերթականությունը պեպտիդներում։ Մակարն, այս խնդիրը որոշ գեղագերամ չի կարող լուծված լինել առանց նախական էտալունացման, քանի որ բնորոշ իոնները կալուն են ոչ բոլոր գլիցիերում։

ЛИТЕРАТУРА

1. В. Г. Манусаджян, Я. М. Варшавский, Изв. АН АрмССР, ХН **17**, 137 (1964).
2. В. Г. Манусаджян, Н. С. Бажулина, Г. С. Саркисян, Я. М. Варшавский, ДАН АрмССР **38** (в печати).
3. C.-O. Andersson, R. Ryhage, S. Stallberg-Stenhagen, E. Stenhamen, Arkiv för Kemi **19**, 405 (1962).
4. C.-O. Andersson, R. Ryhage, E. Stenhamen, Arkiv för Kemi **19**, 417 (1962).